



بررسی خواص ویسکو الاستیک نانو خاک رس - پوشش‌های پلی‌بیورتان با جامد حجمی ۱۰۰ درصد

مجید تقیوی^۱، سید محمود کثیری‌بها^{۲*}، علی اصغر سرابی^۳، حسین نازک دست^۴

۱- دانشجوی کارشناسی ارشد، دانشکده مهندسی پلیمر و رنگ، دانشگاه صنعتی امیرکبیر، تهران، ایران، صندوق پستی: ۱۵۹۱۴-۴۴۱۳

۲- مربی، دانشکده مهندسی پلیمر و رنگ، دانشگاه صنعتی امیرکبیر، تهران، ایران، صندوق پستی: ۱۵۹۱۴-۴۴۱۳

۳- استادیار، دانشکده مهندسی پلیمر و رنگ، دانشگاه صنعتی امیرکبیر، تهران، ایران، صندوق پستی: ۱۵۹۱۴-۴۴۱۳

۴- استاد، دانشکده مهندسی پلیمر و رنگ، دانشگاه صنعتی امیرکبیر، تهران، ایران، صندوق پستی: ۱۵۹۱۴-۴۴۱۳

تاریخ دریافت: ۸۹/۱۰/۲۹ تاریخ پذیرش: ۸۹/۱۰/۲۹ در دسترس به صورت الکترونیکی از: ۱۳۹۰/۶/۲۰

چکیده

نانو خاک رس Cloisite 20A به میزان ۰،۱، ۰.۵، ۱، ۲ و ۳ درصد وزنی در محمل پلی‌استر - اتر پلی‌ال تحت شرایط یکسان توسط همزن مکانیکی و فرآصوت پراکنده شد و سپس با افزودن جزء ایزوسیانات آروماتیک بدون حلal به نسبت استوکیومتری، نانو‌کامپوزیت‌های با درصد های وزنی فوق حاصل گردید. با استفاده از آزمون تفرق اشعه ایکس و میکروسکوپ الکترونی عبوری، پراکنش لایه‌ای نانو خاک رس در پوشش پلی‌بیورتان بدون حلal تأیید گردید. نتایج حاصل از آزمون حرارتی دینامیکی - مکانیکی نشان می‌دهد که با افزایش درصد وزنی نانو در پوشش، دمای انتقال شیشه‌ای نانو‌کامپوزیت‌ها افزایش یافته است در حالی که به دلیل کاهش چگالی شبکه‌ای نانو کامپوزیت‌ها، مدول الاستیک آنها با افزایش درصد وزنی نانو خاک رس، کاهش یافته است.

واژه‌های کلیدی: پلی‌بیورتان با جامد حجمی ۱۰۰٪، نانو خاک رس، ویسکو‌الاستیک، نانو کامپوزیت.

Investigation into Visco-elastic Properties of 100% Solids Polyurethane-Nanoclay Coating

M. Taghavi, S. M. Kassiriha*, A. A. Sarabi, H. Nazokdast

Polymer Engineering and Color Technology Department, Amirkabir University of Technology, P.O. Box: 15875-413, Tehran, Iran

Received: 10-05-2010

Accepted: 19-11-2010

Available online: 11-09-2011

Abstract

Nanoclay, Cloisite 20A, in 0, 0.5, 1, 2 and 3 w% were dispersed by mechanical and Ultra sonic mixing method in polyester-ether vehicle in the same conditions. Then solvent free aromatic isocyanate hardener was added in the above specimens stoichiometrically in order to synthesize nanocomposites. The X-Ray Diffraction (XRD) analysis and Transmission Electron Microscopy (TEM) indicate that the nanoclay has intercalated in the 100% Solid Polyurethane. Results of Dynamic Mechanical Thermal Analysis (DMTA) show that nanoclay content increases the thermal transition (T_g) for nanocomposite specimens, while the storage modulus decreases due to decrease of cross linking density of nanocomposites. J. Color Sci. Tech. 5(2011), 129-135 © Institute for Color Science and Technology.

Keywords: 100% Solids polyurethane, Nanoclay, Visco-elastic, Nanocomposite.

*Corresponding author: kassiriha@aut.ac.ir

به عنوان پرکننده نانویی در تولید نانو کامپوزیت‌ها استفاده می‌شود و

خواص مکانیکی بی نظیری را از خود نشان می‌دهد [۶، ۷].

تاکنون مطالعات فراوانی بر روی خواص فیزیکی – مکانیکی نانو کامپوزیت‌های پلی‌یورتان – نانو خاک رس صورت گرفته شده است. در تحقیقی، با افزایش میزان درصد وزنی نانو خاک رس به بستر پلی‌اتر – یورتان، کاهش هدایت حرارتی مشاهده شده است [۸].

در تحقیقی دیگر پی برده شد که با افزایش نانو ذرات خاک رس به پلی‌یورتان، مقاومت خوردگی نانو کامپوزیت به علت شکل پرکی آن و ممانعت از نفوذ عوامل خورنده، بهبود می‌یابد [۹].

به منظور بهبود استحکام کششی [۱۰] و مقاومت حرارتی [۱۱] پلی‌یورتان‌ها به وسیله نانو سیلیکات‌ها، ذرات نانو خاک رس مونتموریلونیت با عوامل فعلی کننده حاوی یک تا سه گروه هیدروکسیل اصلاح و آماده‌سازی گردید تا قادر به واکنش با گروه‌های ایزوسیاناتی گردند. این تحقیق قصد دارد برای اولین بار به بررسی چگونگی تغییرات خواص ویسکو‌استیکی پوشش‌های پلی‌یورتان با جامد حجمی ۱۰۰٪ حاوی درصدهای مختلف وزنی از ذرات نانو خاک رس بپردازد.

۲- بخش تجربی

۲-۱ مواد

پلی‌ال بدون حلال استفاده شده در این مقاله یک نوع پلی‌استر اتر پلی‌ال با نام تجاری DESMOPHEN 1150 ساخت شرکت بایر آلمان، با گرانیزوی ۴۰۰۰ mPa.s می‌باشد. همچنین از پلی‌ایزوسیانات آرماتیک DESMODUR VL بدون حلال بر پایه دی‌فنیل متان و با نام تجاری ساخت شرکت بایر آلمان به عنوان عامل پخت پلی‌ال استفاده گردید.

نانو خاک رس استفاده شده از نوع مونت موریلونیت آماده‌سازی شده با نمک‌های آلکیل آمونیوم نوع چهارم با نام تجاری Cloisite 20A می‌باشد که از شرکت Southern Clay Products تهیه گردید. مشخصات نانو خاک رس استفاده شده به شرح ذیل می‌باشد.

1- On-shore & off-shore

2- Curing

3- Cathodic disbonding

4- Nanoclay

۱- مقدمه

بررسی و مطالعه بر روی نانو کامپوزیت‌های آلی – معدنی یکی از زمینه‌های مهم علمی در سال‌های اخیر می‌باشد. افزودن یک ماده معدنی در مقیاس نانو در یک بستر پلیمری می‌تواند خواص فیزیکی (حرارتی – نفوذ پذیری) و مکانیکی غیر منظره در نانو کامپوزیت‌ها سبب گردد. یکی از مهم‌ترین نانو کامپوزیت‌های رایج در دنیا، هیبرید پلی‌پلیمرهای آلی و نانو ذرات خاک رس می‌باشد [۱].

پلی‌یورتان‌ها یکی از مواد پلیمری مهم در دنیا می‌باشند که به علت تنوع فراوان در اجزا سازنده آنها، در صنایع مختلفی همچون چسب، پوشش فوم و الاستومرها کاربردهای گسترده یافته‌اند. پلی‌یورتان‌های آرماتیک با جامد حجمی ۱۰۰٪ نسل نوینی از این مواد پلیمری در صنایع پوشش می‌باشند [۲].

امروزه پوشش‌های پلی‌یورتان بدون حلال در حفاظت از خوردگی مخازن، خطوط لوله، تأسیسات آب، نفت، گاز، پتروشیمی، پل‌های بزرگ فلزی و بتونی، کشتی‌ها و سازه‌های دریایی^۱ نقش بسزایی دارند که از بارزترین خصوصیات آن: عمر و ماندگاری طولانی، مقاومت مناسب در برابر محیط‌های خورنده، مقاومت سایشی مناسب، انعطاف‌پذیری و ضربه‌پذیری عالی، قابلیت پخت شدن^۲ سریع در دمای پایین، مقاومت مناسب در برابر جدایش کاتدی^۳، اعمال سریع و تک لایه در ضخامت‌های ۳۰۰۰ - ۶۵۰ میکرون و سازگاری با محیط زیست (VOC=۰) می‌باشد [۳، ۴].

نانو خاک رس^۴ یکی از مواد معدنی در مقیاس نانو می‌باشند که به دلیل شکل پرکی و نسبت وجهی بالا (طول و عرضی در حدود چند نانومتر و ضخامتی در حد ۱ nm)^۵ در صورت پراکنش مناسب در بسترها پلیمری، سبب بهبود چشمگیری در خواص مکانیکی و مقاومت خوردگی بستر می‌گردد. این ذرات نانو به دلیل داشتن ساختار آلی، که دارند – برخلاف اغلب پلیمرها که به دلیل داشتن ساختار آلی، آب‌گیریز هستند – بسیار آبدوست می‌باشند، لذا اختلاط آنها به سختی انجام می‌شود. به منظور سازگاری و پراکنش مناسب نانو ذرات خاک رس در بسترها پلیمری، سطح این ذرات به کمک مواد سطح فعال به روش‌های مختلف، غیر قطبی و یا اصلاح می‌گردد [۶-۷].

در حال حاضر مونتموریلونیت یکی از پراهمیت‌ترین ذرات معدنی مورد مصرف بر پایه خاک رس در فرآیندهای پلیمری می‌باشد که

جدول ۱: مشخصات فنی مربوط به نانو خاک رس‌های مونت موریلونیت استفاده شده.

درصد اتلاف وزن بر اثر احتراق	فاصله صفحات خاک رس (d-Spacing)	غلظت اصلاح کننده آلی ^۱	نام اصلاح کننده آلی ^۱	نام تجاری خصوصیات
٪۳۸	۲۴,۲ Å	۹۵ meq/۱۰۰ g clay	2M2HT	Cloisite 20A

(1) HT is Hydrogenated Tallow (~65% C18; ~30% C16; ~5% C14)
2M2HT: dimethyl, dehydrogenated tallow, quaternary ammonium

نامنونه ۰.۵% Nanocomposite صورت گرفت. همچنین نمونه فاقد نانو ذره خاک رس به صورت Neat PU نام‌گذاری گردید.

۳- نتایج و بحث

۱-۳ بررسی نتایج آنالیز میکروسکوپ نوری

در شکل ۱ مقایسه پراکنش نانو ذرات Cloisite 20A در بستر پلیال DESMOPHEN 1150 با درصدهای ورنی ۰،۵، ۱، ۲ و ۳ درصد و با بزرگنمایی ۱۰۰۰ برابر نشان داده شده است. همان‌طوری که مشاهده می‌گردد تصاویر میکروسکوپی نمونه‌های حاوی ۰،۵ تا ۲ درصد وزنی تقریباً با هم مشابه بوده ولی در نمونه حاوی ۳ درصد وزنی، تجمعاتی به وجود مشاهده می‌گردد که می‌تواند نشان از تجمعات نانو ذرات و یا پراکنش ضعیفتر (Partial Intercalation) نمونه ۳ درصد نسبت به نمونه‌های با درصدهای وزنی پایین‌تر باشد.

۲-۳ بررسی نتایج حاصل از تفرق اشعه ایکس

با افزودن Cloisite 20A به بستر پلی یورتان بدون حلal آروماتیک، به دلیل نفوذ زنجیرهای پلی‌ال در بین صفحات ذرات خاک رس و سپس واکنش با جزء ایزوسیانات، در نمونه‌های حاوی ۰،۵، ۱ و ۲ درصد وزنی از ذرات خاک رس، d-Spacing Cloisite 20 A از ۲۴،۲ آنگستروم، به ۳۷-۴۰ آنگستروم افزایش می‌یابد به طوری که می‌توان گفت نوع پراکنش نانو خاک رس در بستر پلیمری مورد نظر، لایه‌لایه‌ای^۱ می‌باشد [۱۲].

با توجه به نتایج حاصل از آزمون تفرق اشعه ایکس (شکل ۲ و ۳)، کاهش قابل توجه d-Spacing در نمونه ۳% Nanocomposite به دلیل افزایش شدید گرانروی رزین، مشاهده می‌گردد.

۳-۳ بررسی تصاویر میکروسکوپ الکترونی عبوری

از نمونه نانو کامپوزیت‌های پخت شده، تصاویر میکروسکوپ الکترونی عبوری (TEM) تهیه شدند. تصاویر به دست آمده از میکروسکوپ الکترونی عبوری نمونه‌های حاوی ۲ و ۳ درصد وزنی از نانو ذرات خاک رس در بستر پلی یورتان بدون حلal با بزرگنمایی یکسان برای مقایسه میزان لایه‌لایه‌ای شدن در شکل ۴ نشان داده شده است. همان‌طوری که از نتایج آزمون میکروسکوپ نوری و آزمون تفرق اشعه ایکس حاصل شد به طور آشکارا نمونه نانو کامپوزیت حاوی ۲ درصد وزنی به دلیل گرانروی پایین‌تر، دارای درجه پراکنش و لایه‌لایه‌ای شدن بسیار مطلوب‌تری نسبت به نمونه حاوی ۳ درصد وزنی از نانو خاک رس می‌باشد.

یکی از عوامل بسیار مهم در پراکنش نانو ذرات خاک رس در رزین، گرانروی بستر حاوی نانو ذره خاک رس می‌باشد به طوری که با افزایش گرانروی، نفوذ زنجیرهای پلیمری در داخل صفحات مابین ذرات خاک رس نیز کاهش می‌یابد [۱۳].

با استفاده از یک میکروسکوپ نوری که قابلیت تبدیل نور غیر پلاریزه به پلاریزه را داراست می‌توان به مقایسه پراکنش نانو ذرات خاک رس با درصدهای وزنی مختلف در بستر پلی‌ال پرداخت. در این مقاله از یک میکروسکوپ نوری Leica DMR مجهر به دوربین با بزرگنمایی ۱۰۰۰ برابر استفاده شد.

مطالعات اشعه ایکس توسط تکنیک تفرق و با استفاده از دستگاه PHILIPS X'PERT صورت پذیرفت. این آزمون با استفاده از یک تفرق ساز اصلاح شده از نوع HZG-3 Hadiat می‌شد. منبع تولید اشعه ایکس یک لوله انود شده با آند مس و صافی نیکل ($\lambda = 0.154178 \text{ nm}$) بود. اندازه‌گیری تأمین شده با ژنراتور TUR M62 (40kV, 40mA) بود. درجه با سرعت روبش ۲ درجه بر دقیقه انجام می‌گردد. فاصله میان صفحه‌های خاک رس (d-spacing) با استفاده از معادله براگ به دست آمد.

برای آزمون میکروسکوپ الکترونی عبوری (TEM)، ابتدا آماده سازی و برش نمونه‌ها با ابزار برش اولترامیکروتومی OMU3 (Reichert Austria) مجهر به یک چاقوی الماس در ضخامت‌های ۷۰ تا ۱۰۰ نانومتر صورت پذیرفت و سپس نمونه‌ها بر روی توری مسی ۳۰۰ مش قرار داده شدند. تصاویر با استفاده از میکروسکوپ الکترونی عبوری ZEISS-30EM902A با ولتاژ ستاردهی ۲۵۰ کیلو ولت تهیه شدند.

به منظور بررسی نانو ذره خاک رس بر خصوصیات ویسکو الستیک نانوکامپوزیت‌ها، آزمون آنالیز گرمایی دینامیکی - مکانیکی (DMTA) با استفاده از دستگاه Tritec 2000 DMA 2000 با نیروی اعمالی به صورت Bending، محدوده دمایی ۵۰-۲۰۰ درجه سانتی‌گراد، بسامد اعمالی ۱۰ هرتز، سرعت دمایی ۳ درجه سانتی‌گراد بر دقیقه صورت پذیرفت.

با استفاده از این آزمون خواصی نظیر چگالی شبکه‌ای، مدول ذخیره و دمای انتقال شیشه‌ای مورد بررسی قرار خواهد گرفت. نمونه‌های کامپوزیتی به صورت فیلم آزاد و در ابعاد 3×1 سانتی‌متر و به ضخامت متوسط ۹۰۰ میکرون تهیه شدند.

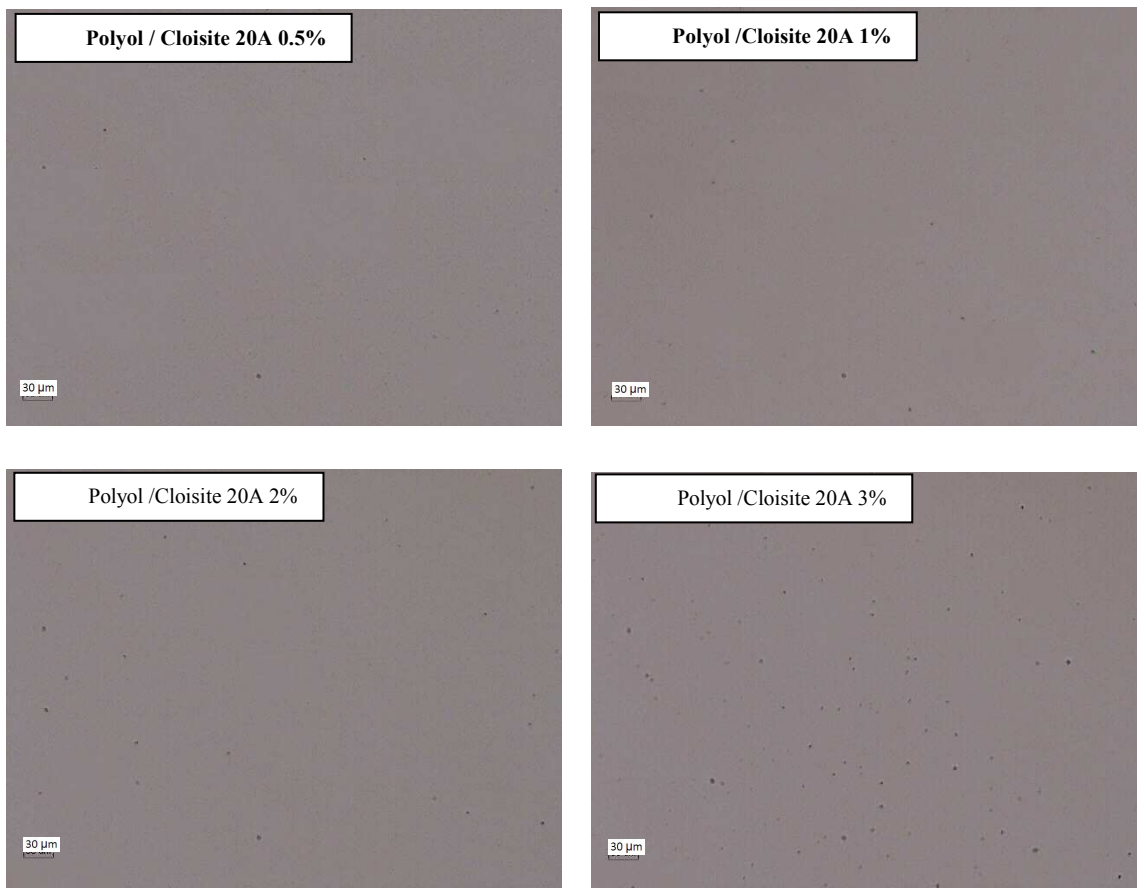
۲- روش کار

نانو خاک رس Cloisite 20A به میزان ۱۰،۵، ۲ و ۳ درصد وزنی DESMOPHEN 1150 نسبت به درصد جامد پوشش، در بستر پلی‌ال توسط همزن مکانیکی و فرآصوت تحت شرایط یکسان به مدت به ترتیب ۶۰ و ۳۰ دقیقه مخلوط شدند و سپس مورد ارزیابی توسط میکروسکوپ نوری قرار گرفتند.

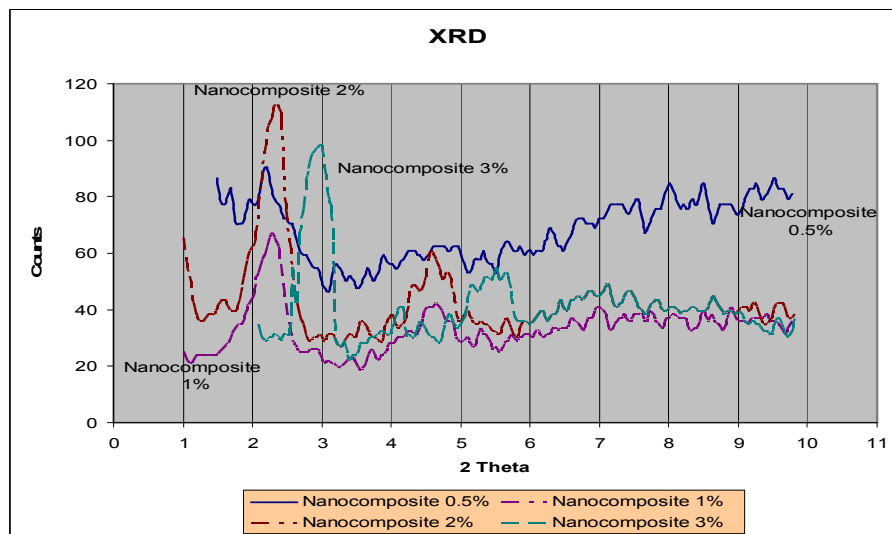
برای تهیه فیلم‌های نانو کامپوزیتی جهت آزمون تفرق اشعه ایکس و آنالیز حرارتی دینامیکی - مکانیکی، جزء ایزوسیانات آروماتیک DESMODUR VL به نسبت استوکیومتری به بستر پلی‌ال حاوی ذرات نانو اضافه گردید. پخت نمونه‌ها در دمای محیط به مدت ۳۰ روز صورت پذیرفت.

نام‌گذاری نمونه‌های تهیه شده بسته به درصد نانو ذرات به ترتیب Nanocomposite 3%, Nanocomposite 2%, Nanocomposite 1% &

1- Intercalation



شکل ۱: تصاویر مربوط به آزمون میکروسکوپ نوری نانو ذره Cloisite 20A در درصدهای وزنی مختلف در بستر پلیال.



شکل ۲: منحنی حاصل از تست تفرق اشعه ایکس.

۴-۳- بررسی آزمون آنالیز گرمایی دینامیکی - مکانیکی

به منظور بررسی خصوصیات ویسکو الستیک نانو کامپوزیت و تاثیر نانو ذره خاک رس بر روی پارامترهای ویسکو الستیکی آن، آزمون DMTA مورد استفاده قرار گرفت. با استفاده از این آزمون خواصی نظری چگالی شبکه‌ای شدن، مدول ذخیره و دمای انتقال شیشه‌ای مورد بررسی قرار خواهد گرفت.

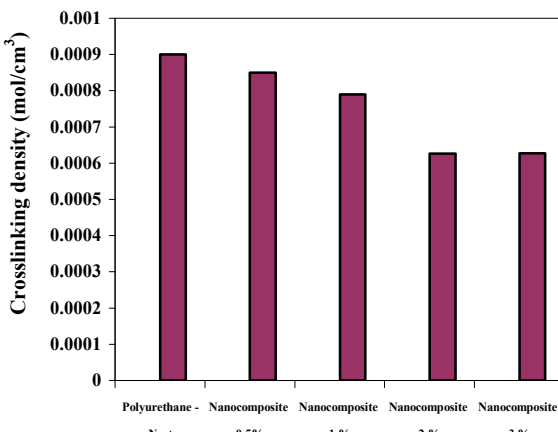
۴-۴-۳- بررسی چگالی شبکه‌ای شدن

نانو ذرات مورد استفاده در پوشش‌ها با توجه به ساختار و نوع آماده‌سازی سطحی آنها، بر فرآیند پخت پوشش توسط ساز و کارهای مختلفی تأثیرگذار می‌باشند. چگالی شبکه‌ای پوشش به عنوان نمادی از چگونگی پخت با استفاده از منحنی مدول ذخیره در ناحیه خطی بعد از دمای انتقال شیشه‌ای پوشش قبل محاسبه می‌باشد. چگالی شبکه‌ای با استفاده از رابطه ۱ محاسبه شده است [۱۴] و نتایج به دست آمده بر حسب درصد وزنی نانو ذره خاک رس در شکل ۵ مقایسه گردیده‌اند. قابل ذکر است که در محاسبه چگالی شبکه‌ای، دمای ناحیه خطی برای هر نمونه به طور مستقل از منحنی مدول ذخیره آن (نمودار شکل ۶) استخراج شده است.

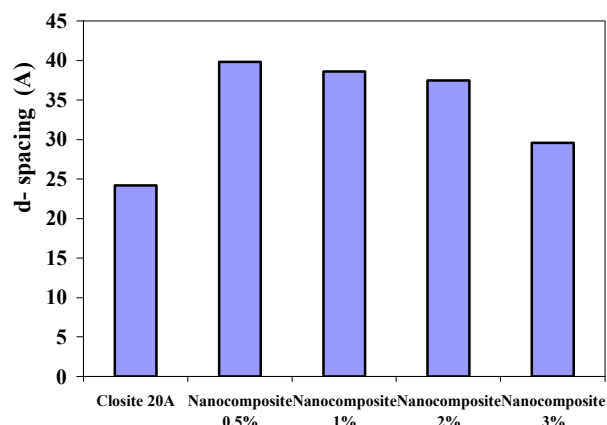
$$v_e = E'/3RT \quad (1)$$

که در آن $R =$ ثابت گازها که برابر $8,۳۱۴ \times 10^{-۷}$ ، $T =$ دما بر حسب درجه کلوین ($^{\circ}\text{K}$)، $E' =$ مدول ذخیره بر حسب پاسکال (Pa) و $v_e =$ چگالی شبکه‌ای شدن (mol/cm^3) می‌باشد.

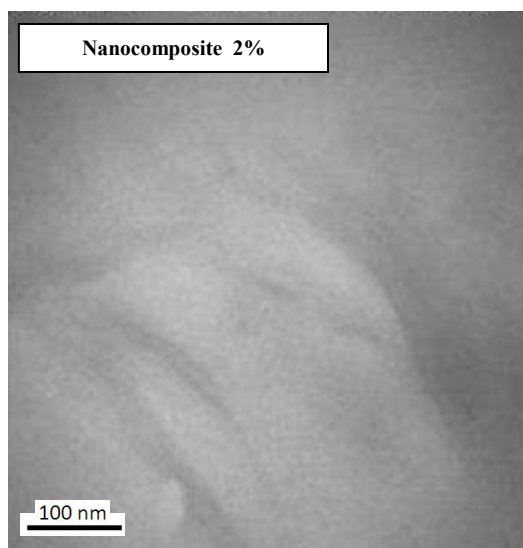
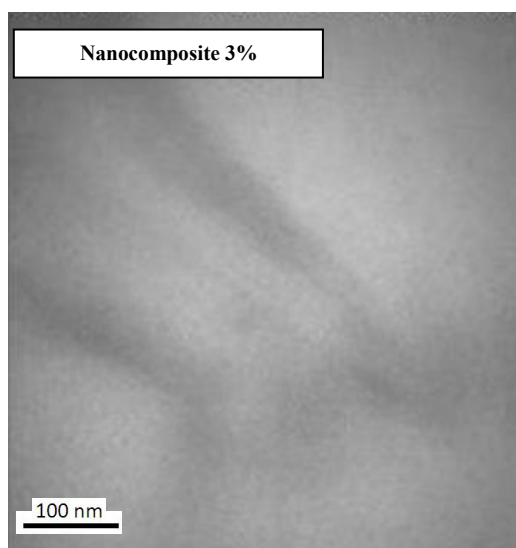
همان طوری که شکل ۵ نشان می‌دهد استفاده از ذرات نانو خاک رس در ساختار پوشش پلی یورتان، منجر به کاهش چگالی شبکه‌ای نانو کامپوزیت می‌گردد. به طوری که با افزایش درصد وزنی از نانو ذره، چگالی شبکه‌ای نیز کاهش می‌یابد.



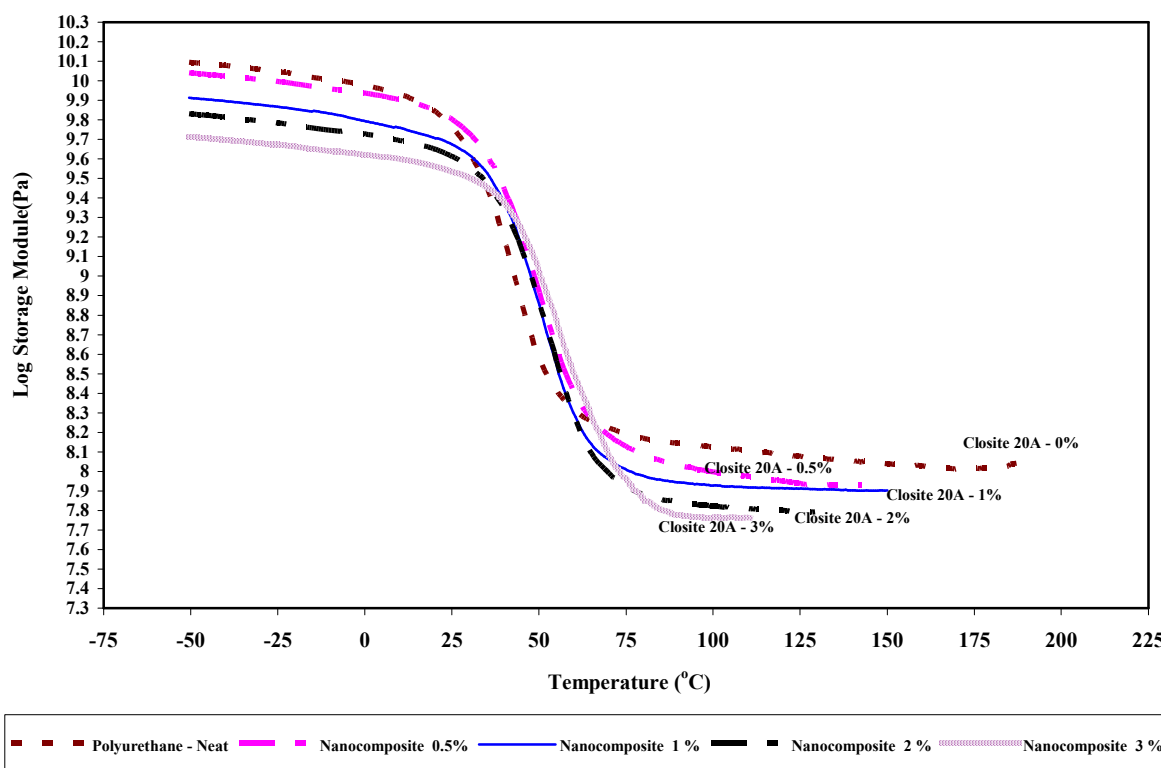
شکل ۵: نمودار حاصل از چگالی شبکه‌ای بر اساس تست آنالیز مکانیکی - دینامیکی حرارتی (DMTA).



شکل ۳: نمودار مقایسه میزان پراکنش نانو ذره خاک رس در محمل پلی‌ال.



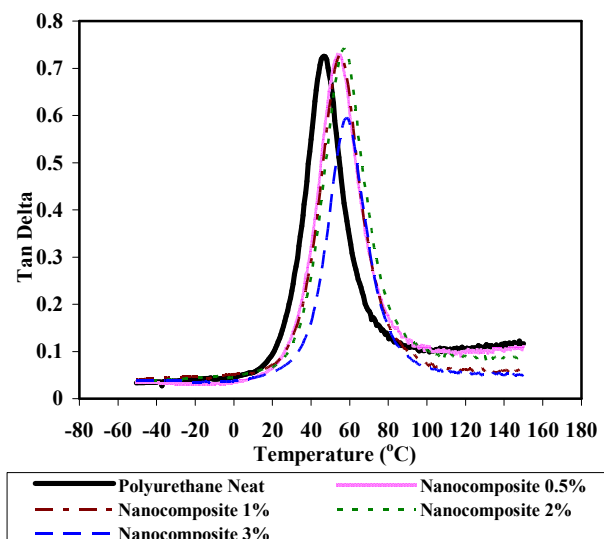
شکل ۴: تصاویر مربوط به میکروسکوپ الکترونی عبوری نانو ذره Closite 20A در درصدهای وزنی ۲ و ۳ درصد در پلی یورتان.



شکل ۶: نمودار مدول الاستیک نمونه‌ها.

بر حسب دما برای نانو کامپوزیت‌ها حاوی درصدهای مختلف وزنی از نانو ذرات خاک رس حاصل شد که در شکل ۷ قابل مشاهده می‌باشد.

کاهش چگالی شبکه‌ای نانو کامپوزیت‌ها می‌تواند به علت حبس گروههای عاملی در فضای مابین صفحات خاک رس و یا ممانعت فضایی ناشی از طول زنجیر بلند گروههای Tallow در آکیل آمونیوم موجود بر روی سطح نانو باشد که می‌تواند منجر به تغییر طول باند عرضی نانو کامپوزیت‌ها و کاهش چگالی شبکه‌ای آنها گردد [۱۵].

شکل ۷: منحنی تغییرات تانزانت اتلاف (δ) بر حسب دما.

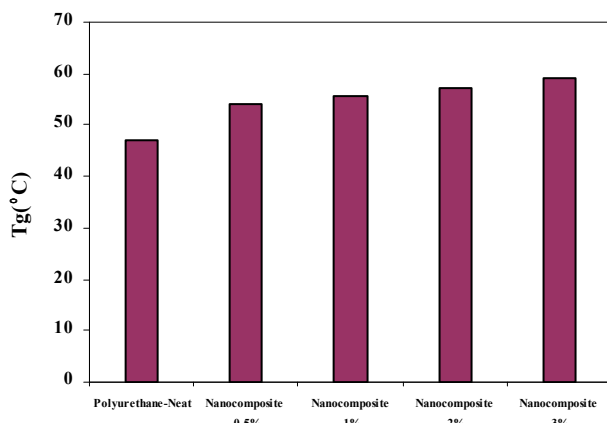
۳-۲-۴-۳-بررسی مدول ذخیره یا الاستیک

بررسی تغییرات مدول ذخیره نانو کامپوزیت‌های با درصدهای مختلف وزنی و مقایسه آن با پوشش بدون ماده نانو در ناحیه قبل از دمای انتقال شیشه‌ای و همچنین بعد از دمای انتقال شیشه‌ای در شکل ۶ نشان می‌دهد که افزودن نانو ذره خاک رس سبب کاهش مدول الاستیک در این نوع از نانو کامپوزیت‌ها می‌گردد.

در پوشش‌های ترموموست، مدول الاستیک با چگالی شبکه‌ای پلیمر ارتباط مستقیمی دارد. همان طوری که اشاره گردید با افزایش درصد نانو ذره در بستر، چگالی شبکه‌ای نیز کاهش می‌یابد که این امر می‌تواند منجر به کاهش مدول الاستیک نانو کامپوزیت‌ها گردد [۱۶].

۳-۲-۴-۳-بررسی دمای انتقال شیشه‌ای

با استفاده از آزمون DMTA منحنی تغییرات تانزانت اتلاف (δ)



شکل ۸: مقایسه نتایج T_g حاصل از منحنی δ بر اساس تست آنالیز مکانیکی - دینامیکی حرارتی (DMTA).

به دلیل افزایش میزان برهمنکنش بین نانو خاک رس با پلیمر و به تاخیر انداختن حرکت زنجیرهای پلیمری در بین صفحات خاک رس، بهبود می‌یابد. همچنین کاهش مدول الاستیک و کاهش چگالی شبکه‌ای نانو کامپوزیت‌ها نیز به علت طویل بودن زنجیرهای آلکیل آمونیوم استفاده شده جهت اصلاح سطح Cloisite 20A و احتمال عدم واکنش گروههای حبس شده در فضای مابین صفحات خاک رس مشاهده گردید.

ناحیه میانی در منحنی تائزانت اتلاف یک ناحیه انتقالی است که در آن معمولاً δ Tan به بیشینه مقدار خود می‌رسد و این نقطه که همان دمای انتقال شیشه‌ای می‌باشد، نقطه‌ای است که بیشترین اتلاف در آن صورت می‌پذیرد. با افزایش درصد ذره نانو در بستر پلی یورتان، T_g نانو کامپوزیت علی‌رغم کاهش چگالی شبکه‌ای و مدول الاستیک افزایش می‌یابد (شکل ۸). این امر می‌تواند به دلیل افزودن جزء معدنی و صفحه‌ای شکل نانو، افزایش میزان برهمنکنش بین نانو خاک رس با پلیمر و به تاخیر انداختن حرکت زنجیرهای پلیمری در بین صفحات خاک رس باشد که با افزایش درصد بالاتر از ذرات معدنی نانو، T_g نیز افزایش یافته است [۱۱، ۱۵].

۴- نتیجه‌گیری

نتایج آزمون میکروسکوپ الکترونی عبوری و تفرق اشعه ایکس نشان داد که افزایش نانو ذره 20A Closite ۲ درصد وزنی در بستر پلی یورتان بدون حلal، به دلیل نفوذ زنجیرهای پلی‌ال در فواصل بین لایه‌ای نانو خاک رس، سبب پراکنش لایه لایه‌ای آنها می‌گردد ولی با افزایش درصد وزنی آنها به دلیل افزایش گرانروی و کاهش نفوذ زنجیرهای تجمعات و پراکنش جزئی از نانو ذره در داخل بستر اتفاق می‌افتد. نتایج آزمون DMTA نانو کامپوزیت‌ها نسبت به نمونه بدون نانو نشان می‌دهد که با افزایش نانو ذرات خاک رس در پوشش پلی یورتان بدون حلal آروماتیک، دمای انتقال شیشه‌ای نانو کامپوزیت‌ها

۵- مراجع

1. S. Ray, M. Okamoto, Polymer/layered silicate nanocomposites: A review from preparation to processing. *Prog. Polym. Sci.* 28(2003), 1539-1641.
2. D. K. Chattopadhyay, K. V. S. N. Raju, Structural engineering of polyurethane coatings for high performance applications. *Prog. Polym. Sci.* 32(2007).
3. S. W. Guan, The selection, application and inspection of 100% solids polyurethane coatings for corrosion protection, SSPC Conference, USA, Tennessee, (2000), 12-16.
4. Standard for polyurethane coatings for the interior and exterior of steel water pipe and fittings, ANSI/AWWA C222, 2000.
5. L.B. de Paiva, A.R. Morales, F.R.V. Díaz, Organoclays: Properties, preparation and applications. *Appl. Clay Sci.* 42(2008), 8-24.
6. F. Uddin, Clays, nanoclays, and montmorillonite minerals. *Metall. Mater. Trans.* 39A(2008).
7. F. Bergaya, G. Lagaly, Surface modifications of clay minerals. *Appl. Clay Sci.* 19(2001), 1-3.
8. Y. KJ, M. Song, H. DJ, L. DZ., Polymer/layered clay nanocomposites: 2 polyurethane nanocomposites. *Polym.* 43(2002), 1017-1020.
9. Y. W. Chen-Yang, H. C. Yang, G. J. Li, Y. K. Li, Thermal and anticorrosive properties of polyurethane/clay nanocomposites. *J. Polym. Res.* 11(2004), 275-283.
10. T. YI, W. KH., High-tensile-property layered silicates/polyurethane nanocomposites by using reactive silicates as pseudo chain extenders. *Macromol.* 34(2001), 9045-9052.
11. T. YI, W. KH., The effect of nano-sized silicate layers from montmorillonite on glass transition, dynamic mechanical and thermal degradation properties of segmented polyurethane. *J. Appl. Polym. Sci.* 86(2002), 1741-1748.
12. P. C. LeBaron, Z. Wang, T. J. Pinnavaia, Polymer-layered silicate nanocomposites: an overview. *Appl. Clay Sci.* 15(1999), 11-29.
13. N. Gupta, T. C. Lin, M. Shapiro, Clay-epoxy nanocomposites: Processing and properties. *JOM*. 59(2007), 3.
14. K. P. Menard, Dynamic mechanical analysis, CRC, Press LLC, 1999.
15. D.R. Paul, L.M. Robeson, Polymer nanotechnology: nanocomposites. *Polym.* 49(2008), 3187-3204.
16. R. K. Bharadwaj, A. R. Mehrabi, C. Hamilton, C. Trujillo, M. Murga, R. Fan, A. Chavira, A. K. Thompson, Structure–property relationship in crosslinked polyester clay nanocomposites. *Polym.* 3(2002), 3699-3705.